

УДК 539.3

## СОБСТВЕННЫЕ КОЛЕБАНИЯ УПРУГОГО ТЕЛА С ШЕРОХОВАТОЙ ПОВЕРХНОСТЬЮ

С. А. Назаров

Институт проблем машиноведения РАН, 199178 Санкт-Петербург

E-mail: serna@snark.ipme.ru

Получены явные представления для начальных членов асимптотики решения спектральной задачи теории упругости в плоской области с быстроосциллирующей границей. На основе асимптотических формул предложены два способа моделирования задачи: с помощью краевых условий Вентцеля и с использованием принципа гладкого изображения сингулярно возмущенной границы. Обсуждаются различные подходы к обоснованию асимптотических представлений.

**Ключевые слова:** анизотропное упругое тело, мелкозернистая граница, асимптотические представления.

**1. Тело с шероховатой поверхностью.** Пусть  $\Omega$  — плоское неоднородное анизотропное упругое тело, ограниченное простым гладким замкнутым контуром  $\Gamma$ . Масштабированием сведем длину контура к единичной и, обозначив малый параметр  $h = N^{-1}$ , где  $N$  — большое натуральное число, определим быстроосциллирующую (мелкозернистую) границу

$$\Gamma_h = \{x \in O_\Gamma: n = hH(s, h^{-1}s)\} \quad (1.1)$$

тела  $\Omega_h$  (рис. 1). Здесь  $O_\Gamma$  — окрестность множества  $\Gamma$ , на которой введена ортогональная система  $(n, s)$  криволинейных координат;  $s$  — длина дуги на  $\Gamma$ ;  $n$  — ориентированное расстояние до контура  $\Gamma$  ( $n > 0$  вне  $\Omega$ );  $H$  — гладкая функция медленной  $s$  и быстрой

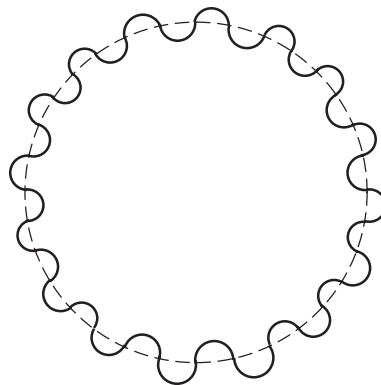


Рис. 1. Тело с шероховатой поверхностью

$\eta_2 = h^{-1}s$  переменных, периодическая относительно последней (в данной работе период предполагается единичным).

Рассмотрим задачу о собственных колебаниях тела  $\Omega_h$ :

$$-\partial_{x_1}\sigma_{1k}(u; h, x) - \partial_{x_2}\sigma_{2k}(u; h, x) = \Lambda(h)\rho(x)u_k(h, x), \quad x \in \Omega_h; \quad (1.2)$$

$$\sigma_k^{(\nu)}(u; h, x) := \nu_1(h, x)\sigma_{1k}(u; h, x) + \nu_2(h, x)\sigma_{2k}(u; h, x) = 0, \quad x \in \Gamma_h. \quad (1.3)$$

Здесь  $\rho > 0$  и  $\Lambda(h) \geq 0$  — плотность материала и квадрат собственной частоты;  $\partial_{x_j} = \partial/\partial x_j$ ;  $\nu = (\nu_1, \nu_2)$  — единичный вектор внешней нормали к границе  $\partial\Omega_h = \Gamma_h$ ;  $u = (u_1, u_2)$  — вектор смещений;  $\sigma_{jk}$  — декартовы компоненты тензора напряжений:

$$\sigma_{jk}(u; h, x) = \sum_{p,q=1}^2 A_{jk}^{pq}(x)\varepsilon_{pq}(u; h, x), \quad \varepsilon_{pq}(u) = \frac{1}{2} \left( \frac{\partial u_p}{\partial x_q} + \frac{\partial u_q}{\partial x_p} \right).$$

Поскольку при  $H > 0$  область  $\Omega_h$  шире области  $\Omega$ , компоненты  $A_{jk}^{pq}$  четырехвалентного тензора  $A$ , гладкого, симметричного и положительно-определенного, зададим в окрестности  $\Omega \cup O_\Gamma$  множества  $\bar{\Omega} = \Omega \cup \partial\Omega$ . Другие поля, не зависящие от параметра  $h$ , также считаем гладко продолженными в область, внешнюю по отношению к  $\Omega$ . Для краткости записи далее не указываем параметр  $h$  среди аргументов функций. В дальнейшем в обозначениях не различаем точку контура  $\Gamma$  и ее координату  $s$ .

В пп. 2–4 представлен асимптотический анализ сформулированной спектральной задачи и получены в значительной степени явные формулы для двух членов асимптотических разложений ее решений. Однако основная цель работы — моделирование задачи в области с быстроосциллирующей границей (1.1), а именно построение более простых по постановке краевых задач, решения которых дают приближение повышенной точности (двучленную асимптотику) для решения  $\{\Lambda, u\}$  в области  $\Omega_h$ . Для скалярной задачи Дирихле различные способы моделирования разработаны в [1]. Помимо технических проблем, связанных с определением членов асимптотического анзаца в задаче теории упругости с краевыми условиями в напряжениях (аналог условий Неймана) возникает еще одна трудность: спектральный параметр присутствует в краевых условиях предельной и результирующей задач.

**2. Построение главных членов асимптотики.** Как известно, вблизи быстроосциллирующей границы возникает пограничный слой (см., например, [2, 3]), поэтому асимптотический анзац для решения  $\{\Lambda, u\}$  спектральной задачи (1.2), (1.3) берем в следующем виде:

$$\Lambda = \lambda_0 + h\lambda_1 + \dots; \quad (2.1)$$

$$u(x) = v^0(x) + hv^1(x) + \chi(n)h(w^1(s, \eta) + hw^2(s, \eta)) + \dots \quad (2.2)$$

Здесь  $v^i$  — слагаемые регулярного типа;  $w^i$  — слагаемые типа пограничного слоя, умноженные на срезающую функцию  $\chi$ , которая равна единице вблизи контура  $\Gamma$  и нулю вне множества  $O_\Gamma$ . Слагаемые регулярного типа являются решениями задач в области  $\Omega = \Omega_0$ , ограниченной предельным контуром  $\Gamma = \Gamma_0$ ; например, формальный переход к  $h = 0$  приводит к соотношениям

$$-\partial_{x_1}\sigma_{1k}(v^0; x) - \partial_{x_2}\sigma_{2k}(v^0; x) = \lambda_0\rho(x)v_k^0(x), \quad x \in \Omega; \quad (2.3)$$

$$\sigma_k^{(n)}(v^0; x) := n_1(s)\sigma_{1k}(v^0; x) + n_2(s)\sigma_{2k}(v^0; x) = 0, \quad x \in \Gamma. \quad (2.4)$$

Поскольку нормаль  $n = (n_1, n_2)$  к контуру  $\Gamma$  отличается от осциллирующей нормали  $\nu$  к контуру  $\Gamma_h$ , решение задачи (2.3), (2.4) оставляет невязку в краевом условии (1.3),

которая компенсируется слагаемыми типа пограничного слоя. Вектор-функции  $w^i$  зависят не только от медленной переменной  $s \in \Gamma$ , но и от быстрых переменных

$$\eta = (\eta_1, \eta_2) = (h^{-1}n, h^{-1}s). \quad (2.5)$$

Замена координат  $x \mapsto \eta$  и локально-периодическое строение границы (1.1) предопределяют возникновение полуполосы

$$\Pi(s) = \{\eta \in \mathbb{R}^2: \eta_2(0, 1), \eta_1 < H(s, \eta_2)\} \quad (2.6)$$

в качестве еще одной предельной области; торец полуполосы  $\pi(s) = \{\eta \in \partial\Pi(s): \eta_1 \in (0, 1)\}$  искривлен. Введем проекции вектора  $w^i$  на оси  $n$  и  $s$ :

$$\mathbf{w}_1^i = w_n^i = n_1 w_1^i + n_2 w_2^i, \quad \mathbf{w}_2^i = w_s^i = -n_2 w_1^i + n_1 w_2^i.$$

Поскольку растяжение координат в  $h^{-1}$  раз и переход к  $h = 0$  подразумевают “замораживание” зависимостей от медленных переменных в точках  $s \in \Gamma$ , координаты (2.5) следует рассматривать в главном как декартовы. Положим  $\mathbf{w}^i = (\mathbf{w}_1^i, \mathbf{w}_2^i)$  и

$$\sigma_{jk}(\mathbf{w}; s, \eta) = \sum_{p,q=1}^2 \mathbf{A}_{jk}^{pq}(0, s) \varepsilon_{pq}(\mathbf{w}; s, \eta), \quad \varepsilon_{pq}(\mathbf{w}) = \frac{1}{2} \left( \frac{\partial \mathbf{w}_p}{\partial \eta_q} + \frac{\partial \mathbf{w}_q}{\partial \eta_p} \right), \quad (2.7)$$

где  $\mathbf{A}_{jk}^{pq}(0, s)$  — компоненты тензора  $\mathbf{A}(0, s)$ , полученного ортогональным преобразованием тензора  $A(x)|_{n=0}$  с помощью матрицы

$$\Theta(s) = \begin{pmatrix} n_1(s) & n_2(s) \\ -n_2(s) & n_1(s) \end{pmatrix}.$$

Сохраняя обозначение  $v^i(n, s)$  для полей, записанных на множестве  $\Omega \cap O_\Gamma$  в криволинейных координатах, имеем  $\mathbf{v}^i(0, s) = \Theta(s)v^i(0, s)$ . Приведем также формулы для деформаций и уравнения равновесия в системе координат  $(n, s)$ :

$$\varepsilon_{nn}(u) = \partial_n u_n, \quad \varepsilon_{ss}(u) = J^{-1}(\partial_s u_s + \varkappa u_n), \quad (2.8)$$

$$\varepsilon_{ns}(u) = \varepsilon_{sn}(u) = (\partial_n u_s + J^{-1}(\partial_s u_n - \varkappa u_s))/2;$$

$$-\partial_n \sigma_{nn}(u) - J^{-1}(\partial_s \sigma_{ns}(u) + \varkappa(\sigma_{nn}(u) - \sigma_{ss}(u))) = \Lambda \rho u_n, \quad (2.9)$$

$$-\partial_n \sigma_{sn}(u) - J^{-1}(\partial_s \sigma_{ss}(u) + 2\varkappa \sigma_{ns}(u)) = \Lambda \rho u_s.$$

Здесь  $J(n, s) = 1 + n\varkappa(s)$  — якобиан;  $\varkappa(s)$  — кривизна дуги  $\Gamma$  в точке  $s$ . Наконец, проекции нормали  $\nu$  на оси  $n$  и  $s$  допускают представления

$$\nu_n(s, \eta) = \nu_1(s, \eta_2)(1 - hY(s, \eta)) + O(h^2),$$

$$\nu_s(s, \eta) = \nu_2(s, \eta_2)(1 - hY(s, \eta)) - h(\nu_2(s, \eta_2)\eta_1\varkappa(s) + y(s, \eta_2)\partial_s H(s, \eta_2)) + O(h^2), \quad (2.10)$$

$$Y = \nu_1 \nu_2 (\partial_s H - \varkappa H \partial_{\eta_2} H), \quad y = (1 + |\partial_{\eta_2} H|^2)^{-1/2},$$

где  $\nu = (\nu_1, \nu_2)$  — единичный вектор нормали к торцу полуполосы  $\Pi(s) \subset \mathbb{R}^2 \ni \eta$ .

В соотношениях (2.8) и (2.9) перейдем к растянутым координатам (2.5) и подставим анзац (2.2) в уравнения (1.2) и краевые условия (1.3). Собирая коэффициенты при одинаковых степенях малого параметра и приравнивая их суммы к нулю, получаем следующие задачи в полуполосе (2.6):

$$-\partial_{\eta_1} \sigma_{1k}(\mathbf{w}^i; s, \eta) - \partial_{\eta_2} \sigma_{2k}(\mathbf{w}^i; s, \eta) = \mathbf{F}_k^i(s, \eta), \quad \eta \in \Pi(s),$$

$$\sigma_k^{(\nu)}(\mathbf{w}^i; s, \eta) := \nu_1(s, \eta_2) \sigma_{1k}(\mathbf{w}^i; s, \eta) + \nu_2(s, \eta_2) \sigma_{2k}(\mathbf{w}^i; s, \eta) = \mathbf{G}_k^i(s), \quad \eta \in \pi(s), \quad (2.11)$$

$$\mathbf{w}^i(s, \eta_1, 0) = \mathbf{w}^i(s, \eta_1, 1), \quad \partial_{\eta_2} \mathbf{w}^i(s, \eta_1, 0) = \partial_{\eta_2} \mathbf{w}^i(s, \eta_1, 1), \quad \eta_1 < H(s, 0).$$

При этом согласно разложению (2.10) имеем

$$\mathbf{F}_k^0(s, \eta) = 0, \quad \mathbf{G}_1^0(s, \eta) = 0, \quad \mathbf{G}_2^0(s, \eta) = -\boldsymbol{\nu}_2(s, \eta_2) \sigma_{ss}(v^0; 0, s) \quad (2.12)$$

( $\mathbf{G}_2^0$  — главная часть невязки вектор-функции  $v^0$  в краевом условии (1.3): все напряжения, кроме  $\sigma_{ss}(v^0; 0, s)$ , аннулируются на  $\Gamma$  в силу соотношений (2.4)).

Среднее компоненты  $\boldsymbol{\nu}_2$  по торцу  $\pi(s)$  равно нулю, а значит, при  $i = 0$  задача (2.11) имеет единственное экспоненциально затухающее на бесконечности решение

$$\mathbf{w}^0(s, \eta) = -\mathbf{W}(s, \eta) \sigma_{ss}(v^0; 0, s). \quad (2.13)$$

Этот факт, вытекающий, например, из общих результатов [4, гл. 6], выражает известный принцип Сен-Венана при учете условий периодичности на боковых сторонах полуполосы  $\Pi(s)$ . Следует отметить, что затухание решения (2.13) типа пограничного слоя подтверждает правильность выбора краевых условий в задаче (2.3), (2.4) для решения регулярного типа.

Ясно, что  $\mathbf{W}$  — решение задачи (2.11) с правыми частями  $\mathbf{F}_1 = \mathbf{F}_2 = 0$ ,  $\mathbf{G}_1 = 0$  и  $\mathbf{G}_2 = \boldsymbol{\nu}_2$ . С помощью этого решения введем аналогичную упругой емкости [5] энергетическую характеристику упругой полуполосы

$$m(s) = \mathbf{E}(\mathbf{W}; \Pi(s)) = \frac{1}{2} \sum_{j,k=1}^2 \int_{\Pi(s)} \sigma_{jk}(\mathbf{W}; s, \eta) \varepsilon_{jk}(\mathbf{W}; s, \eta) d\eta. \quad (2.14)$$

Величина (2.14) неотрицательна и вырождается лишь в том случае, когда  $\pi(s)$  — отрезок, параллельный оси  $\eta_2$ , и, следовательно,  $\mathbf{W} = 0$ .

**3. Младшие члены асимптотики.** Второй член  $v^1$  регулярного типа удовлетворяет уравнениям

$$-\partial_{x_1} \sigma_{1k}(v^1; x) - \partial_{x_2} \sigma_{2k}(v^1; x) = \rho(x) (\lambda_0 v_k^1(x) + \lambda_1 v_k^0(x)), \quad x \in \Omega, \quad (3.1)$$

а правые части краевых условий

$$\sigma_k^{(n)}(v^1; 0, s) = g_k^1(s), \quad s \in \Gamma \quad (3.2)$$

определяются из условий затухания решения  $w^1$  типа пограничного слоя, удовлетворяющего задаче (2.11) при  $i = 1$ . Найдем правые части  $\mathbf{F}^1$  и  $\mathbf{G}^1$  задачи (2.11), содержащиеся согласно [4, гл. 6] в указанных условиях:

$$\int_{\Pi(s)} \mathbf{F}_k^1(s, \eta) d\eta + \int_{\pi(s)} \mathbf{G}_k^1(s, \eta) ds_\eta = 0, \quad k = 1, 2. \quad (3.3)$$

Компоненты вектор-функции  $\mathbf{F}^1$  принимают вид

$$\begin{aligned} \mathbf{F}^1 &= \partial_s \boldsymbol{\sigma}_{12}(\mathbf{w}^0) + \varkappa(\boldsymbol{\sigma}_{11}(\mathbf{w}^0) - \boldsymbol{\sigma}_{22}(\mathbf{w}^0)) - \varkappa \eta_1 \partial_{\eta_2} \boldsymbol{\sigma}_{12}(\mathbf{w}^0) + \partial_{\eta_1} \Sigma_{11} + \partial_{\eta_2} \Sigma_{12}, \\ \mathbf{F}^2 &= \partial_s \boldsymbol{\sigma}_{22}(\mathbf{w}^0) + 2\varkappa \boldsymbol{\sigma}_{12}(\mathbf{w}^0) - \varkappa \eta_1 \partial_{\eta_2} \boldsymbol{\sigma}_{22}(\mathbf{w}^0) + \partial_{\eta_1} \Sigma_{21} + \partial_{\eta_2} \Sigma_{22}. \end{aligned} \quad (3.4)$$

Первые члены в правых частях (3.4) появились в соответствии с правилом дифференцирования сложной функции

$$\frac{dz}{ds} \left( s, \frac{s}{h} \right) = \left( \frac{\partial z}{\partial s}(s, \eta_2) + \frac{1}{h} \frac{\partial z}{\partial \eta_2}(s, \eta_2) \right) \Big|_{\eta_2 = h^{-1}s}, \quad (3.5)$$

вторые и третьи — вследствие присутствия в уравнениях равновесия (2.9) кривизны  $\varkappa(s)$  и якобиана  $J(n, s)^{-1} = 1 - h\eta_1\varkappa(s) + O(h^2)$ , а четвертые и пятые — в связи с необходимостью учитывать соотношения (2.8), (3.5) и разложение Тейлора

$$A(n, s) = A(0, s) + h\eta_1\partial_n A(0, s) + O(h^2) \quad (3.6)$$

при вычислении истинных напряжений  $\sigma_{pq}(v^0)$ . Явный вид выражений  $\Sigma_{jk}$  не требуется, так как в формуле (3.3) они сокращаются с аналогичными членами в компонентах вектор-функции  $\mathbf{G}^1$ :

$$\begin{aligned} \mathbf{G}_1^1 &= -\nu_1\Sigma_{11} - \nu_2\Sigma_{12} - H(\nu_1\partial_n\sigma_{nn}(v^0) + \nu_2\partial_n\sigma_{sn}(v^0)) + \\ &\quad + Y(\sigma_1^{(\nu)}(\mathbf{w}^0) + \sigma_1^{(\nu)}(v^0)) + (\nu_2H\varkappa + y\partial_s H)(\sigma_{12}(\mathbf{w}^0) + \sigma_{sn}(v^0)), \\ \mathbf{G}_2^1 &= -\nu_1\Sigma_{21} - \nu_2\Sigma_{22} - H(\nu_1\partial_n\sigma_{ns}(v^0) + \nu_2\partial_n\sigma_{ss}(v^0)) + \\ &\quad + Y(\sigma_1^{(\nu)}(\mathbf{w}^0) + \sigma_2^{(\nu)}(v^0)) + (\nu_2H\varkappa + y\partial_s H)(\sigma_{22}(\mathbf{w}^0) + \sigma_{ss}(v^0)). \end{aligned} \quad (3.7)$$

Слагаемые с множителем  $H$  возникли из аналогичной (3.6) формулы Тейлора для напряжений  $\sigma(v^0; n, s)$ , а последние пары слагаемых в правых частях равенств (3.7) происходят от вторых членов разложений (2.10) компонент нормали  $\nu$ . Все напряжения, порожденные полем смещений  $v^0$ , вычисляются на контуре, т. е. краевые условия (2.4) оставляют ненулевым только продольное напряжение  $\sigma_{ss}(v^0; 0, s)$ . Множители при  $Y$  равны нулю в силу условий на торце  $\pi(s)$  в задаче (2.11) для  $\mathbf{w}^0$ . Производные  $\partial_n\sigma_{nn}(v^0; 0, s)$  и  $\partial_n\sigma_{ns}(v^0; 0, s)$  могут быть найдены из уравнений равновесия (2.9). Наконец, формула Стокса

$$\int_{\Pi(s)} \eta_1 \frac{\partial}{\partial \eta_2} \sigma_{j2}(\mathbf{w}^0; s, \eta) d\eta = - \int_{\pi(s)} \eta_1 \nu_2(s, \eta_2) \sigma_{j2}(\mathbf{w}^0; s, \eta) ds_\eta$$

показывает, что еще ряд членов в (3.4) и (3.7), содержащие произведения подынтегральных выражений и кривизны  $\varkappa$ , не дают вклада в условия (3.3).

Для нахождения интегралов от остальных слагаемых в (3.4) и (3.7) используется несколько формул:

1) соотношения

$$\begin{aligned} \int_{\pi(s)} \nu_j(s, \eta_2) ds_\eta &= \delta_{j,1}, & \int_{\pi(s)} \eta_1 \nu_j(s, \eta_2) ds_\eta &= \bar{H}(s) \delta_{j,1}, \\ \int_{\pi(s)} y(s, \eta) \frac{\partial H}{\partial s}(s, \eta_2) ds_\eta &= \int_0^1 \frac{\partial H}{\partial s}(s, \eta_2) d\eta_2 = \frac{d\bar{H}}{ds}(s), & \bar{H}(s) &= \int_0^1 H(s, \eta_2) d\eta_2, \end{aligned} \quad (3.8)$$

где  $\delta_{j,k}$  — символ Кронекера;

2) равенства

$$\begin{aligned} \int_{\pi(s)} \nu_2(s, \eta) \mathbf{W}_2(s, \eta) ds_\eta &= \sum_{j=1}^2 \int_{\pi(s)} \sigma_j^{(\nu)}(\mathbf{W}; s, \eta) \mathbf{W}_j(s, \eta) ds_\eta = 2m(s), \\ \sum_{j,k=1}^2 \mathbf{A}_{jk}^{1i}(0, s) \int_{\pi(s)} \nu_k(s, \eta_2) \mathbf{W}_j(s, \eta_2) ds_\eta &= 0 \quad (i = 1, 2); \end{aligned} \quad (3.9)$$

3) равенство

$$\varepsilon_{ss}(v^0; 0, s) = b(0, s)\sigma_{ss}(v^0; 0, s), \quad (3.10)$$

справедливое в силу краевых условий (2.4) и содержащее элемент  $b(0, s) = \mathbf{B}_{22}^{22}(0, s)$  тензора податливости  $\mathbf{B}(0, s)$ , обратного тензору жесткости  $\mathbf{A}(0, s)$ . В случае однородного изотропного материала  $b(0, s) = (2\mu)^{-1}(1 - \nu)$ . Здесь  $\mu$  — модуль сдвига;  $\nu$  — коэффициент Пуассона. Для проверки двух последних равенств в (3.9) применим формулу Грина с полями  $\mathbf{W}(s, \eta)$  и  $\zeta^1(\eta) = (\eta_1, 0)$  или  $\zeta^2(\eta) = (0, \eta_1)$ :

$$\begin{aligned} 0 &= \sum_{j,k=1}^2 \int_{\Pi(s)} \zeta_j^i(\eta) \frac{\partial}{\partial \eta_k} \sigma_{jk}(\mathbf{W}; s, \eta) d\eta = \\ &= \sum_{j,k=1}^2 \int_{\pi(s)} (\mathbf{W}(s, \eta) \sigma^{(\nu)}(\zeta^i; \eta) - \zeta_k^i(\eta) \sigma_k^{(\nu)}(\mathbf{W}; s, \eta)) ds_\eta. \end{aligned}$$

Выражение в правой части этой формулы совпадает с выражением (3.9) при  $i = 1, 2$  в силу соотношений (3.8) и (2.12), (2.13), а также равенств (2.7) для векторных полиномов  $\zeta^i(\eta)$ .

В итоге получаем формулы

$$\begin{aligned} \int_{\Pi(s)} \frac{\partial}{\partial s} \sigma_{p2}(\mathbf{W}; s, \eta) d\eta - \int_{\pi(s)} y(s, \eta) \frac{\partial H}{\partial s}(s, \eta) \sigma_{p2}(\mathbf{W}; s, \eta) ds_\eta &= \frac{\partial}{\partial s} \int_{\Pi(s)} \sigma_{p2}(\mathbf{W}; s, \eta) d\eta, \\ \int_{\Pi(s)} \sigma_{1i}(\mathbf{W}; s, \eta) d\eta &= \sum_{j,k=1}^2 \mathbf{A}_{jk}^{1i}(0, s) \int_{\Pi(s)} \varepsilon_{jk}(\mathbf{W}; s, \eta) d\eta = \\ &= \sum_{j,k=1}^2 \mathbf{A}_{jk}^{1i}(0, s) \int_{\pi(s)} \nu_k(s, \eta_2) \mathbf{W}_j(s, \eta) ds_\eta = 0, \quad (3.11) \end{aligned}$$

$$\begin{aligned} \int_{\Pi(s)} \sigma_{22}(\mathbf{W}; s, \eta) d\eta &= b(0, s)^{-1} \int_{\Pi(s)} \varepsilon_{22}(\mathbf{W}; s, \eta) d\eta - \sum_{i=1}^2 \beta_i(s) \int_{\Pi(s)} \sigma_{1i}(\mathbf{W}; s, \eta) d\eta = \\ &= b(0, s)^{-1} \int_{\pi(s)} \nu_2(s, \eta) \mathbf{W}_2(s, \eta) ds_\eta = 2b(0, s)^{-1} m(s). \end{aligned}$$

В последних выкладках напряжение  $\sigma_{22}$  выражено через деформацию  $\varepsilon_{22}$  и напряжения  $\sigma_{11}$  и  $\sigma_{12}$  с некоторыми коэффициентами  $\beta_1$  и  $\beta_2$  (ср. с формулой (3.10)), а также равенства (3.9). В соотношении (3.11) использована формула дифференцирования интеграла с переменным верхним пределом; при этом  $y(s, \eta) ds_\eta = d\eta_2$  согласно определению (2.10) множителя  $y(s, \eta)$ .

Громоздкие, но несложные вычисления, основанные на полученных формулах, приводят к следующим выражениям для правых частей краевых условий (3.2):

$$g_n^1(s) = -\varkappa(s)\alpha(s)\varepsilon_{ss}(v^0; 0, s) + \lambda_0 \bar{H}(s)\rho(0, s)v_n^0(0, s), \quad (3.12)$$

$$g_s^1(s) = \partial_s(\alpha(s)\varepsilon_{ss}(v^0; 0, s)) + \lambda_0 \bar{H}(s)\rho(0, s)v_s^0(0, s);$$

$$\alpha(s) = b(0, s)^{-1} \bar{H}(s) - 2b(0, s)^{-2} m(s). \quad (3.13)$$

**4. Замечания об оправданности асимптотики.** Пусть  $\lambda_0 = \lambda^{(n)}$  — элемент последовательности собственных чисел предельной задачи (2.3), (2.4)

$$0 = \lambda^{(1)} = \lambda^{(2)} = \lambda^{(3)} < \lambda^{(4)} \leq \lambda^{(5)} \leq \dots \leq \lambda^{(n)} \leq \dots \rightarrow +\infty. \quad (4.1)$$

Нулевому собственному числу соответствуют жесткие смещения. Предположим, что кратность собственного числа  $\lambda^{(n)} = \varkappa \geq 1$ , т. е.

$$\lambda^{(n-1)} < \lambda^{(n)} = \dots = \lambda^{(n+\varkappa-1)} < \lambda^{(n+\varkappa)},$$

и обозначим через  $v^{(n)}, \dots, v^{(n+\varkappa-1)}$  соответствующие собственные вектор-функции, подчиненные условиям ортогональности и нормировки:

$$\sum_{j=1}^2 \int_{\Omega} \rho(x) v_j^{(p)}(x) v_j^{(q)}(x) dx = \delta_{p,q}. \quad (4.2)$$

В качестве начальных членов анзацев (2.1) и (2.2) возьмем следующие:

$$\lambda_0 = \lambda^{(n)}, \quad v^0 = a_1 v^{(n)} + \dots + a_{\varkappa} v^{(n+\varkappa-1)}.$$

Число  $\lambda_1$  и столбец  $a = (a_1, \dots, a_{\varkappa})$  найдем из условий разрешимости задачи (3.1), (3.2) для поля  $v^1$ , которые в силу соотношений (3.12), (2.8) и (4.2) принимают вид

$$a_p \lambda_1 = - \sum_{j=1}^2 \int_{\Gamma} g_j^1(s) v^{(n+p)}(0, s) ds = \sum_{p=0}^{\varkappa-1} M_{pq}^{(n)} a_q,$$

$$M_{pq}^{(n)} = \int_{\Gamma} \left( \alpha(s) \varepsilon_{ss}(v^{(n+p)}; 0, s) \varepsilon_{ss}(v^{(n+q)}; 0, s) - \right. \\ \left. - \lambda^{(n)} \rho(0, s) \overline{H}(s) \sum_{j=1}^2 v_j^{(n+p)}(0, s) v_j^{(n+q)}(0, s) \right) ds_x. \quad (4.3)$$

Ясно, что матрица  $M^{(n)}$  с элементами (4.3) симметричная, т. е. имеет вещественные числа  $\lambda_1^{n0}, \dots, \lambda_1^{(n+\varkappa-1)}$  и собственные ортонормированные столбцы  $a^{n0}, \dots, a^{(n+\varkappa-1)}$ , которые конкретизируют члены  $\lambda_0, \lambda_1$  и  $v^0, w^0$  анзацев (2.1) и (2.2); при этом из задач (3.1), (3.2) и (2.11), где  $i = 1$ , можно найти очередные асимптотические члены  $v^1(x)$  и  $w^1(s, \eta)$  (заметим, что они определяются с точностью до слагаемых  $\tilde{v}(x) = \tilde{a}_0 v^{(n)}(x) + \dots + \tilde{a}_{\varkappa} v^{(n+\varkappa-1)}(x)$  и  $-\mathbf{W}(s, \eta) \sigma_{ss}(\tilde{v}; 0, s)$ ).

Несмотря на осцилляцию границы (1.1) области  $\Omega_h$ , справедливо неравенство Корна [6, гл. 3]

$$\|u; H^1(\Omega_h)\|^2 \leq c \sum_{j,k=1}^2 \|\varepsilon_{jk}(u); L_2(\Omega_h)\|^2 \quad (4.4)$$

с постоянной  $c$ , не зависящей от параметра  $h \in (0, h_0]$ ,  $h_0 > 0$  и вектор-функции  $u$ , принадлежащей пространству Соболева  $H^1(\Omega_h)$  и подчиненной условиям ортогональности

$$\int_{\omega} u_1(x) dx = \int_{\omega} u_2(x) dx = \int_{\omega} (x_2 u_1(x) - x_1 u_2(x)) dx = 0,$$

где  $\omega$  — непустая подобласть в  $\Omega$ , например,  $\omega = \Omega \setminus \overline{O_{\Gamma}}$ . Неравенство (4.4) позволяет частично обосновать построенную асимптотику с помощью стандартного подхода (см.,

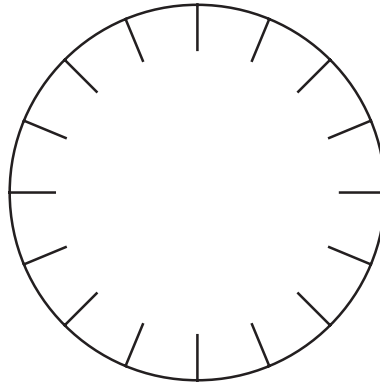


Рис. 2. Тело с периодическим семейством краевых трещин

например, [7]), а именно: с помощью леммы “о почти собственных значениях и векторах” [8] нетрудно убедиться в том, что аналогичная (4.1) последовательность собственных чисел задачи (1.2), (1.3)

$$0 = \Lambda^{(1)} = \Lambda^{(2)} = \Lambda^{(3)} < \Lambda^{(4)} \leq \Lambda^{(5)} \dots \leq \Lambda^{(n)} \leq \dots \rightarrow +\infty \quad (4.5)$$

содержит по крайней мере  $\varkappa$  элементов  $\Lambda^{(p)}, \dots, \Lambda^{(p+\varkappa-1)}$ , для которых верны оценки

$$|\Lambda^{(p)} - \lambda^{(n)} - h\lambda_1^{(nq)}| \leq c_{nq}h^{3/2} \quad (q = 0, \dots, \varkappa - 1). \quad (4.6)$$

Более сложны для проверки следующие выводы: упомянутых элементов имеется не более  $\varkappa$  и справедливо равенство  $p = n$ . Обычно эти выводы проверяются на основании теоремы о “сходимости”, согласно которой  $\Lambda_q(h) \rightarrow \lambda_q$  при  $h \rightarrow +0$  (см. [9, 7] и др.). В [6] (см. также [9–12]) предложены процедуры прямого и обратного сведений, с помощью которых, во-первых, устанавливаются два указанных выше факта и, во-вторых, выявляется зависимость множителей  $c_{nq}$  в соотношениях (4.6) от характеристик предельного спектра: собственного числа  $\lambda^{(n)}$ , его кратности  $\varkappa = \varkappa^{(n)}$  и относительного расстояния  $d_n = \min \{1 - \lambda^{(n-1)}/\lambda^{(n)}, 1 - \lambda^{(n)}/\lambda^{(n+\varkappa)}\}$  до соседних точек спектра. Даже формулировка последнего результата весьма громоздка, поэтому ограничимся констатацией типового и проверяемого по известной схеме заключения: в неравенствах (4.6) содержатся собственные числа  $\Lambda^{(n)}, \dots, \Lambda^{(n+\varkappa-1)}$ , а остальные члены последовательности (4.5) этим неравенствам не удовлетворяют.

Полученные результаты остаются в силе и при более общих видах возмущения границы. Примером может служить периодическое семейство краевых трещин (рис. 2). В этом случае  $\bar{H}(s) = 0$  и  $m(s) > 0$ , а значит, коэффициент (3.13) отрицателен.

**5. Моделирование с помощью условий Вентцеля.** В работах [13, 14], посвященных изучению пограничного слоя в теории тонких упругих пластин, и в работе [1] для скалярных спектральных сингулярно возмущенных краевых задач предложен способ объединения предельных задач вида (2.3), (2.4) и (3.1), (3.2) в общую, так называемую результирующую краевую задачу, решение которой является приближением повышенной точности к решению исходной задачи (1.2), (1.3). В рассматриваемом случае такая задача имеет вид

$$\begin{aligned} -\partial_{x_1}\sigma_{1k}(u^w; h, x) - \partial_{x_2}\sigma_{2k}(u^w; h, x) &= \Lambda^w(h)\rho(x)u_k^w(h, x), \quad x \in \Omega, \\ \sigma_{nn}(u^w; h, 0, s) + h\varkappa(s)\varepsilon_{ss}(u^w; h, 0, s) &= \Lambda^w(h)\rho(0, s)\bar{H}(s)u_n^w(h, 0, s), \end{aligned} \quad (5.1)$$

$$\sigma_{ns}(u^w; h, 0, s) - h\partial_s(\alpha(s)\varepsilon_{ss}(u^w; h, 0, s)) = \Lambda^w(h)\rho(0, s)\bar{H}(s)u_s^w(h, 0, s), \quad s \in \Gamma.$$



Поскольку последнее из краевых условий содержит дифференциальный оператор  $-h\alpha(s)\partial_s^2$  второго порядка, краевые условия следует интерпретировать как упругий аналог скалярного условия Вентцеля (см. работу [15] и библиографию к ней). В работах [16–18] и др. сходные краевые условия названы “пристеночными” (wall-law).

Вариационная формулировка [19, 20] задачи (5.1) следующая: найти число  $\Lambda^w = \Lambda^w(h)$  и нетривиальную вектор-функцию  $u^w$ , которая принадлежит пространству  $H^1(\Omega)$ , имеет след на границе  $\Gamma$  из пространства Соболева  $H^1(\Gamma)$  и при любой пробной функции  $v^w$  с аналогичными свойствами удовлетворяет интегральному тождеству

$$2E(u^w, v^w; \Omega) + 2S(u^w, v^w; \Gamma) = \Lambda^w \sum_{j=1}^2 \left( \int_{\Omega} \rho u_j^w v_j^w dx + \int_{\Gamma} \bar{H} \rho u_j^w v_j^w ds_x \right). \quad (5.2)$$

Здесь  $E, S$  — упругая и поверхностная энергии:

$$E(u^w, v^w; \Omega) = \frac{1}{2} \sum_{j,k=1}^2 \int_{\Omega} \sigma_{jk}(u^w) \varepsilon_{jk}(u^w) dx, \quad S(u^w, v^w; \Gamma) = \frac{h}{2} \int_{\Gamma} \alpha \varepsilon_{ss}(u^w) \varepsilon_{ss}(v^w) ds_x.$$

Если выполнены условия

$$\alpha(s) > 0, \quad \bar{H}(s) \geq 0 \quad (5.3)$$

(см. формулы (3.13) и (3.8)), то левая часть тождества (5.2) определяет скалярное произведение в описанном выше энергетическом классе, а множитель при  $\Lambda^w$  в правой части — положительный компактный оператор. Следовательно, задача (5.2) или, что то же, задача (5.1) обладает последовательностью собственных чисел  $\Lambda^w(n)$  вида (4.5).

Если на участке контура  $\Gamma$  положительной длины справедливо неравенство  $\bar{H}(s) < 0$ , то среди собственных чисел  $\{\Lambda^w(n)\}$  окажется бесконечный набор отрицательных чисел. В случае отрицательной функции  $\alpha$  (см. комментарии к рис. 2 в конце п. 4) лишь несколько собственных чисел неотрицательны, а остальные образуют бесконечно большую отрицательную последовательность. Наконец, при вырождении функции  $\alpha$  в точке или на участке контура  $\Gamma$  спектр задачи (5.1) становится непрерывным. В перечисленных ситуациях задача (5.1) не может служить моделью задачи (1.2), (1.3), т. е. неравенства (5.3) являются условиями, необходимыми при моделировании.

Второе ограничение (5.3) чисто геометрическое, в то время как согласно представлению (3.13) в первом присутствуют как геометрическая, так и энергетическая характеристики быстроосциллирующей границы  $\Gamma_h$ . Более того, лишь в заведомо неприемлемом случае  $\bar{H}(s) < 0$  величина  $\alpha(s)$  гарантированно имеет знак “минус”, что также неприемлемо. Если  $\bar{H}(s) \geq 0$ , то величина  $\alpha(s)$  может оказаться как положительной, так и отрицательной. Поскольку замена

$$H(s, \eta_2) \mapsto H(s, \eta_2) + H_0 \quad (5.4)$$

не влияет на энергетическую характеристику (2.14), можно сделать вывод, что при достаточно большой положительной постоянной  $H_0$  в формуле (5.4) оба условия (5.3) выполнены для нового контура  $\{x \in O_{\Gamma}: n = hH(s, h^{-1}s) + hH_0\}$ .

Процедура построения асимптотики решений задачи (5.1) весьма проста: из соответствующих анзацев

$$\Lambda^w(h) = \lambda_0 + h\lambda_1 + \dots, \quad u^w(h, x) = v^0(x) + hv^1(x) + \dots \quad (5.5)$$

исчезает пограничный слой, а их члены удовлетворяют задачам (2.3), (2.4) и (3.1), (3.2). Обоснование асимптотических разложений (5.5) в целом следует схеме, описанной в п. 4 (см. также [1]). Сходство формул (2.1), (2.2) и (5.5) показывает, что при ограничениях (5.3)

задача (5.1) с краевыми условиями Вентцеля представляет собой модель задачи (1.2), (1.3) в области  $\Omega_h$  с быстроосциллирующей границей. Из соотношений (4.6) для собственных чисел  $\Lambda^{(n)}(h)$  и  $\Lambda^{w(n)}(h)$  следуют неравенства

$$|\Lambda^{(n)}(h) - \Lambda^{w(n)}(h)| \leq C_n^w h^{3/2}. \quad (5.6)$$

Сравнение собственных вектор-функций  $u^{(n)}$  и  $u^{w(n)}$  можно провести в  $L_2$ -метрике, так как энергетическая норма слагаемого  $h\chi w^1$  из анзаца (2.2) равна  $O(h^{1/2})$ , т. е. пограничный слой превалирует над поправкой  $h v^1$  регулярного типа.

**6. Гладкое изображение быстроосциллирующей границы.** В работе [1] предложен подход, отличающийся от описанного в п. 5. Этот подход основан на следующем наблюдении: если в определении (1.1) вместо  $H(s, h^{-1}s)$  взять величину  $H^s(s)$ , не зависящую от быстрой переменной, то все полученные выше результаты останутся в силе, так как постоянная функция — частный случай периодической. Вместе с тем в соотношениях (2.13), (2.14) и (3.13), (3.12)  $\mathbf{W} = 0$ ,  $m = 0$  и  $\overline{H^s}(s) = H^s(s)$ ,  $\alpha^s(s) = b(0, s)^{-1} H^s(s)$ .

Положим

$$H^s(s) = \overline{H}(s) - 2b(0, s)^{-1} m(s), \quad (6.1)$$

введем регулярно возмущенную область  $\Omega_h^s$ , ограниченную контуром  $\Gamma_h^s = \{x \in O_\Gamma: n = hH^s(s)\}$ , и рассмотрим в ней спектральную задачу

$$-\partial_{x_1} \sigma_{1k}(u^s; h, x) - \partial_{x_1} \sigma_{2k}(u^s; h, x) = \Lambda^s(h) \rho(x) u_k^s(h, x), \quad x \in \Omega_h^s; \quad (6.2)$$

$$\sigma_k^{(n^s)}(u^s; h, x) = \Lambda^s(h) h (\overline{H}(s) - H^s(s)) \rho(0, s) u_k^s(h, x), \quad x \in \Gamma_h^s, \quad (6.3)$$

где  $n^s$  — единичный вектор внешней нормали к границе  $\partial\Omega_h^s = \Gamma_h^s$ . Для решений задачи (6.2) сохраняются асимптотические анзацы (5.5), в которых верхний индекс  $w$  заменен индексом  $s$ . В силу того что в правую часть краевого условия (6.3) входит выражение с малым множителем  $h$ , и согласно формуле (6.1) члены указанных анзацев удовлетворяют тем же задачам (2.3), (2.4) и (3.1), (3.2), что и члены анзацев (2.1), (2.2). Таким образом, задача (6.2), (6.3) служит моделью повышенной точности для задачи (1.2), (1.3) в области с быстроосциллирующей границей. Поскольку область  $\Omega_h^s$  возмущена регулярно, обоснование асимптотики обеспечено общими результатами функционального анализа (см., например, [21]).

Приведем вариационную формулировку задачи (6.2), (6.3). Требуется найти число  $\Lambda^s$  и нетривиальную вектор-функцию  $u^s \in H^1(\Omega_h^s)$ , для которых при любой пробной функции  $v^s \in H^1(\Omega_h^s)$  выполнено интегральное тождество

$$2E(u^s, v^s; \Omega_h^s) = \Lambda^s \sum_{j=1}^2 \left( \int_{\Omega_h^s} \rho u_j^s v_j^s dx + \int_{\Gamma_h^s} h (\overline{H} - H^s) \rho u_j^s v_j^s ds_x \right). \quad (6.4)$$

Поскольку  $H^s \geq \overline{H}$  в силу соотношений (6.1) и (2.14), множитель при  $\Lambda^s$  в тождестве (6.4) определяет положительный компактный оператор в пространстве  $H^1(\Omega_h^s)$ , а значит, вариационная задача (6.4) и краевая задача (6.2), (6.3) обладают последовательностью собственных чисел  $\Lambda^s(n)$  вида (4.5). Более того, применяя неравенства (4.6) к двум задачам (в области  $\Omega_h$  и в области  $\Omega_h^s$ ), можно показать, что их собственные числа связаны соотношением (5.6), где индекс  $w$  заменен индексом  $s$ .

С точки зрения вычислений решение задачи (6.2), (6.3) значительно проще решения задач (1.2), (1.3) и (5.1) с быстроосциллирующей границей и малым параметром при старших производных соответственно. Поэтому принцип гладкого изображения сингулярно

возмущенной границы, предложенный в [1], более удобен для моделирования, чем пристеночные краевые условия Вентцеля. Однако удалить спектральный параметр из краевого условия (6.3) не удастся: величина  $b(0, s)(\bar{H}(s) - H^s(s))/2 \geq 0$  — энергетическая характеристика (2.14) осцилляции контура (1.1), исчезающая только в случае регулярно возмущения тела, т. е. при отсутствии осцилляции его поверхности. Это наблюдение еще раз подтверждает, что построение модели мелкозернистой границы на основе лишь геометрических измерений невозможно.

## ЛИТЕРАТУРА

1. Назаров С. А. Двучленная асимптотика решений спектральных задач с сингулярными возмущениями // *Мат. сб.* 1990. Т. 181, № 3. С. 291–320.
2. Санчес-Паленсия Э. Неоднородные среды и теория колебаний. М.: Мир, 1984.
3. Mazja W. G., Nazarov S. A., Plamenewski B. A. Asymptotische Theorie elliptischer Randwertaufgaben in singular gestörten Gebieten. Berlin: Akademie-Verlag, 1991. Bd 2.
4. Назаров С. А. Эллиптические задачи в областях с кусочно-гладкой границей / С. А. Назаров, Б. А. Пламеневский. М.: Наука, 1991.
5. Назаров С. А. Упругие емкость и поляризация дефекта в упругом слое // *Изв. АН СССР. Механика твердого тела.* 1990. № 5. С. 57–65.
6. Назаров С. А. Асимптотическая теория тонких пластин и стержней. Понижение размерности и интегральные оценки. Новосибирск: Науч. кн., 2001.
7. Олейник О. А. Математические задачи теории сильно неоднородных сред / О. А. Олейник, Г. А. Иосифиан, А. С. Шамаев. М.: Изд-во Моск. ун-та, 1990.
8. Вишик М. И., Люстерник Л. А. Регулярное вырождение и пограничный слой для линейных дифференциальных уравнений с малым параметром // *Успехи мат. наук.* 1957. Т. 12, № 5. С. 3–122.
9. Sanchez-Hubert J., Sanchez-Palencia E. Vibration and coupling of continuous systems. Asymptotic methods. Berlin; Heidelberg: Springer-Verlag, 1989.
10. Nazarov S. A. Estimating the convergence rate for eigenfrequencies of anisotropic plates with variable thickness // *C. R. Mecanique.* 2002. V. 330. P. 603–607.
11. Назаров С. А. Равномерные оценки остатков в асимптотических разложениях решений задачи о собственных колебаниях пьезоэлектрической пластины // *Проблемы математического анализа.* Новосибирск: Науч. кн., 2003. Вып. 25. С. 99–188.
12. Lobo M., Nazarov S. A., Perez E. Eigen-oscillations of contrasting non-homogeneous bodies: asymptotic and uniform estimates for eigenvalues // *IMA J. Appl. Math.* 2005. V. 70. P. 419–458.
13. Зорин И. С., Назаров С. А. Краевой эффект при изгибе тонкой трехмерной пластины // *Прикл. математика и механика.* 1989. Т. 53, № 4. С. 642–650.
14. Назаров С. А. Пограничные слои и условия шарнирного опирания для тонких пластин // *Зап. науч. семинаров Петерб. отд-ния Мат. ин-та РАН.* 1999. Т. 257. С. 228–287.
15. Лукьянов В. В., Назаров А. И. Решение задачи Вентцеля для уравнений Лапласа и Гельмгольца с помощью итерированных потенциалов // *Зап. науч. семинаров Петерб. отд-ния Мат. ин-та РАН.* 1998. Т. 250. С. 203–218.
16. Achdou Y., Pironneau O. Domain decomposition and wall-laws // *C. R. Acad. Sci. Paris. Sér. I.* 1995. V. 320. P. 541–547.
17. Mohammadi B., Pironneau O., Vallentin F. Rough boundaries and wall-laws // *Intern. J. Numer. Methods Fluids.* 1998. V. 27. P. 169–177.

18. **Jäger W., Micelič A., Neuss N.** Asymptotic analysis of the laminar viscous flow over a porous bed // SIAM J. Sci. Comput. 2001. V. 22, N 6. P. 2006–2028.
19. **Ладыженская О. А.** Краевые задачи математической физики. М.: Наука, 1973.
20. **Фикера Г.** Теоремы существования в теории упругости. М.: Мир, 1974.
21. **Като Т.** Теория возмущений линейных операторов. М.: Мир, 1972.

*Поступила в редакцию 20/XII 2006 г.*

---